

New Day in Medicine Новый День в Медицине NDM



TIBBIYOTDA YANGI KUN

Ilmiy referativ, marifiy-ma'naviy jurnal







AVICENNA-MED.UZ





9 (83) 2025

Сопредседатели редакционной коллегии:

Ш. Ж. ТЕШАЕВ, А. Ш. РЕВИШВИЛИ

Рел. коллегия:

м.и. абдуллаев

А.А. АБДУМАЖИДОВ

Р.Б. АБДУЛЛАЕВ

Л.М. АБДУЛЛАЕВА

А.Ш. АБДУМАЖИДОВ

М.А. АБДУЛЛАЕВА

Х.А. АБДУМАДЖИДОВ

Б.З. АБДУСАМАТОВ

М.М. АКБАРОВ

Х.А. АКИЛОВ

М.М. АЛИЕВ

С.Ж. АМИНОВ

III.3. AMOHOB

Ш.М. АХМЕДОВ

Ю.М. АХМЕДОВ С.М. АХМЕЛОВА

Т.А. АСКАРОВ

М.А. АРТИКОВА

Ж.Б. БЕКНАЗАРОВ (главный редактор)

Е А БЕРЛИЕВ

Б.Т. БУЗРУКОВ

Р.К. ДАДАБАЕВА

М.Н. ДАМИНОВА

К.А. ЛЕХКОНОВ

Э.С. ДЖУМАБАЕВ

А.А. ДЖАЛИЛОВ

Н Н ЗОЛОТОВА

А.Ш. ИНОЯТОВ

С. ИНДАМИНОВ

А.И. ИСКАНДАРОВ

А.С. ИЛЬЯСОВ

Э.Э. КОБИЛОВ

A.M. MAHHAHOB

Д.М. МУСАЕВА

T.C. MVCAEB

М.Р. МИРЗОЕВА

Ф.Г. НАЗИРОВ Н.А. НУРАЛИЕВА

Ф.С. ОРИПОВ

Б.Т. РАХИМОВ

Х.А. РАСУЛОВ

Ш.И. РУЗИЕВ

С.А. РУЗИБОЕВ

С.А.ГАФФОРОВ

С.Т. ШАТМАНОВ (Кыргызстан)

Ж.Б. САТТАРОВ

Б.Б. САФОЕВ (отв. редактор)

И.А. САТИВАЛДИЕВА

Ш.Т. САЛИМОВ

Д.И. ТУКСАНОВА

М.М. ТАДЖИЕВ

А.Ж. ХАМРАЕВ Б.Б. ХАСАНОВ

Д.А. ХАСАНОВА

Б.3. ХАМДАМОВ

А.М. ШАМСИЕВ А.К. ШАДМАНОВ

Н.Ж. ЭРМАТОВ

Б.Б. ЕРГАШЕВ

Н.Ш. ЕРГАШЕВ

И.Р. ЮЛДАШЕВ

Д.Х. ЮЛДАШЕВА

А.С. ЮСУПОВ

Ш.Ш. ЯРИКУЛОВ

М.Ш. ХАКИМОВ Д.О. ИВАНОВ (Россия)

К.А. ЕГЕЗАРЯН (Россия)

DONG IINCHENG (Китай)

КУЗАКОВ В.Е. (Россия)

Я. МЕЙЕРНИК (Словакия)

В.А. МИТИШ (Россия) В И. ПРИМАКОВ (Беларусь)

О.В. ПЕШИКОВ (Россия)

А.А. ПОТАПОВ (Россия)

А.А. ТЕПЛОВ (Россия)

Т.Ш. ШАРМАНОВ (Казахстан)

А.А. ЩЕГОЛОВ (Россия)

С.Н ГУСЕЙНОВА (Азарбайджан) Prof. Dr. KURBANHAN MUSLUMOV(Azerbaijan)

Prof. Dr. DENIZ UYAK (Germany)

ТИББИЁТДА ЯНГИ КУН новый день в медицине **NEW DAY IN MEDICINE**

Илмий-рефератив, матнавий-матрифий журнал Научно-реферативный, духовно-просветительский журнал

УЧРЕЛИТЕЛИ:

БУХАРСКИЙ ГОСУДАРСТВЕННЫЙ МЕДИЦИНСКИЙ ИНСТИТУТ ООО «ТИББИЁТДА ЯНГИ КУН»

Национальный медицинский исследовательский центр хирургии имени А.В. Вишневского является генеральным научно-практическим консультантом редакции

Журнал был включен в список журнальных изданий, рецензируемых Высшей Аттестационной Комиссией Республики Узбекистан (Протокол № 201/03 от 30.12.2013 г.)

РЕДАКЦИОННЫЙ СОВЕТ:

М.М. АБДУРАХМАНОВ (Бухара)

Г.Ж. ЖАРЫЛКАСЫНОВА (Бухара)

А.Ш. ИНОЯТОВ (Ташкент)

Г.А. ИХТИЁРОВА (Бухара)

Ш.И. КАРИМОВ (Ташкент)

У.К. КАЮМОВ (Тошкент)

Ш.И. НАВРУЗОВА (Бухара)

А.А. НОСИРОВ (Ташкент)

А.Р. ОБЛОКУЛОВ (Бухара)

Б.Т. ОДИЛОВА (Ташкент) Ш.Т. УРАКОВ (Бухара)

10 (84)

октябрь

www.bsmi.uz https://newdaymedicine.com E:

ndmuz@mail.ru

Тел: +99890 8061882

Received: 20.09.2025, Accepted: 06.10.2025, Published: 10.10.2025

УДК 616.631; 616.314-77; 578.834.1

ОЦЕНКА МИКРОТВЁРДОСТИ ЭМАЛИ УДАЛЁННЫХ ЗУБОВ ДО И ПОСЛЕ РЕМИНЕРАЛИЗИРУЮЩЕЙ ТЕРАПИИ ПО ВИККЕРСУ С ИСПОЛЬЗОВАНИЕМ МИКРОТВЕРДОМЕРА

¹Джаббарова Мияссар Бабакуловна https://orcid.org/0000000244770512 ²Саидова Нилуфар Ахроровна https://orcid.org/0000000195100378

¹Бухарский государственный медицинский институт имени Абу Али ибн Сины, Узбекистан, г. Бухара, ул. А. Навои. 1 Тел: +998 (65) 223-00-50 e-mail: info@bsmi.uz

²Ташкентский государственный медицинский университет, 100109 Ташкент, Узбекистан, ул. Фаробия, 2, Тел: +998781507825 E-mail: info@tdmu.uz

✓ Резюме

50 интактных премоляров были разделены на 5 групп (n = 10): I — фторид (лак с 5% NaF), II — паста CPP-ACP (казеин-фосфопептид-аморфный фосфат кальция), III — CPP-ACP с фтором (CPP-ACPF), IV — зубная паста с нано-гидроксиапатитом, V — контроль (дистиллированная вода). На начальном этапе измеряли базовую микротвёрдость эмали (Виккерс, нагрузка 100 г, 15 с) для подтверждения однородности групп. Затем образцы подвергали искусственной деминерализации (72 часа, pH 4,5) для моделирования начальных кариозных поражений, после чего повторно измеряли микротвёрдость. В течение 14 дней проводили реминерализирующую терапию: ежедневно наносили соответствующие препараты (лаки — однократно в начале, пасты — ежедневно на 5 минут) с хранением образцов в искусственной слюне. Повторные измерения микротвёрдости выполняли через 7 и 14 дней терапии.

Ключевые слова: реминерализация эмали; микротвёрдость эмали; метод Виккерса; фторидная терапия; нано-гидроксиапатит; CPP-ACP; белые пятна кариеса.

ОЛИБ ТАШЛАНГАН ТИШЛАР ЭМАЛИНИНГ МИКРОҚАТТИҚЛИГИНИ МИКРОҚАТТИҚЛИК ЎЛЧАГИЧ ЁРДАМИДА ВИККЕРС БЎЙИЧА ҚАЙТА МИНЕРАЛЛАШТИРУВЧИ ТЕРАПИЯДАН ОЛДИН ВА КЕЙИН БАХОЛАШ

¹Джаббарова Мияссар Бабакуловна https://orcid.org/0000000244770512 ²Cauдова Нилуфар Ахроровна https://orcid.org/0000000195100378

✓ Резюме

50 та интакт премолярлар 5 гурухга бўлинди (н = 10): І - фторид (5% НаФ билан лак), ІІ - СРР-АСП пастаси (казеин-фосфопептид-аморф кальций фосфат), ІІІ - фтор билан СПП-АСП (СПП-АСПФ), ІV - нано-гидроксиапатит билан тиш пастаси, V - назорат (дистилланган сув). Дастлабки босқичда гурухларнинг бир хиллигини тасдиклаш учун эмалнинг асосий микроқаттиклиги (Виккерс, юк 100 г, 15 с) ўлчанди. Сўнгра намуналар дастлабки кариоз шикастланишларни моделлаштириш учун суньий деминерализатсиядан ўтказилди (72 соат, рН 4,5), шундан сўнг микроқаттиклик қайта ўлчанди. 14 кун давомида реминерализатсияловчи терапия ўтказилди: ҳар куни тегишли препаратлар (лаклар - бошида бир марта, пасталар ҳар куни 5 дақиқа давомида) суртилиб, намуналар суньий сўлакда сақланди. Такрорий микроқаттиклик ўлчовлари терапиянинг 7 ва 14 кунидан кейин амалга оширилди.

Калитли сўзлар: эмаль реминерализатсияси; эмалнинг микроқаттиклиги; Виккерс усули; фторид терапияси; нано-гидроксиапатит; СПП-АСП; кариес оқ доглари



EVALUATION OF EMAL MICROHARDNESS OF REMOVED TEETH BEFORE AND AFTER VIKKERS REMINERALIZING THERAPY USING A MICROHARDMER

¹Jabbarova Muyassar Babakulovna https://orcid.org/0000000244770512 ²Saidova Nilufar Ahrorovna https://orcid.org/000000195100378

¹Bukhara State Medical Institute named after Abu Ali ibn Sina, Uzbekistan, Bukhara, st. A. Navoi. 1 Tel: +998 (65) 223-00-50 e-mail: info@bsmi.uz

²Tashkent State Medical University, 100109 Tashkent, Uzbekistan, 2 Farobiy Street, Tel: +998781507825 E-mail: info@tdmu.uz

✓ Resume

50 intact premolars were divided into 5 groups (n = 10): I - fluoride (lacquer with 5% NaF), II - CPP-ACP paste (casein-phosphopeptide-amorphous calcium phosphate), III - CPP-ACP with fluoride (CPP-ACPF), IV - dental paste with nanohydroxyapatite, V - control (distilled water). At the initial stage, the basic microhardness of the enamel (Vickers, load 100 g, 15 s) was measured to confirm the homogeneity of the groups. Then, the samples were subjected to artificial demineralization (72 hours, pH 4.5) to simulate the initial carious lesions, after which the microhardness was measured again. For 14 days, remineralizing therapy was administered: daily appropriate preparations were applied (lacquers - once at the beginning, pastes - daily for 5 minutes), with samples stored in synthetic saliva. Repeated microhardness measurements were performed after 7 and 14 days of therapy.

Keywords: enamel remineralization; enamel microhardness; Vickers method; fluoride therapy; nanohydroxyapatite; CPP-ACP; white caries spots

Актуальность

маль зуба обладает высокой минеральной насыщенностью, однако под воздействием Эмаль зуба обладает высокои минерального насыщенией, то кислотных продуктов бактериального метаболизма ее минерализация снижается, что приводит к появлению начальных кариозных поражений – так называемых очагов меловидного обесцвечивания (white spot lesions, WSL). В отличие от кавитированных дефектов, такие поверхностные поражения эмали обратимы при условии преобладания реминерализации над деминерализацией. Реминерализующая терапия направлена на возвращение ионов кальция и фосфатов в поражённую зону эмали и восстановление ее микроструктуры и твёрдости[1]. Фторид по праву считается «золотым стандартом» реминерализации: многочисленные продемонстрировали способность фторидов значительно микротвёрдость деминерализованной эмали за счёт образования фторгидроксиапатита и отложения резервов CaF 2 [3][1]. Мета-анализ данных *in vitro* показывает, что фторсодержащие средства эффективнее не-фторидных в обратном развитии WSL на эмали постоянных зубов[1], хотя в некоторых работах отмечены противоречивые результаты. Ограничения традиционной фтортерапии (например, слабый эффект на уже сформировавшиеся меловидные пятна в глубоких слоях) стимулировали поиск дополнительных remineralizing agents [4].

В последние годы предложены альтернативные и дополняющие фтор средства для реминерализации эмали. К ним относятся нанокристаллический гидроксиапатит, казеинфосфопептид-аморфный фосфат кальция (СРР-АСР), биоактивное стекло (например, NovaMin — фосфосиликат кальция натрия), фторид в комбинации с функционализированным трикальцийфосфатом (fTСР) и др. Наноразмерный гидроксиапатит (нано-ГА) по химическому составу и структуре кристаллов близок к природной эмали; исследования показывают, что включение наногидроксиапатита в зубные пасты может способствовать реминерализации начального кариеса и снижению образования новых поражений, приближаясь по эффективности к фториду[5][2]. Обзор литературы указывает, что среди новых агентов именно гидроксиапатит обладает наибольшим потенциалом служить полноценной альтернативой фторидам, хотя требуются дополнительные клинические доказательства[2]. Комплекс СРР-АСР, получаемый из молочных казеинов, служит источником биодоступных ионов кальция и фосфата; его эффективность широко изучалась в контексте профилактики и лечения

начального кариеса. Считается, что СРР-АСР способен стабилизировать ионы Са^2+ и РО_4^3-в ротовой жидкости, способствуя их диффузии в эмаль и реминерализации субповерхностных поражений. Клинические и лабораторные данные показали, что применение СРР-АСР (например, в виде крема Tooth Mousse) способствует увеличению микротвёрдости обесминерализованной эмали и снижению видимости WSL[6,7]. Однако эффективность чистого СРР-АСР без добавления фтора может уступать традиционным фторидам[7]. В этой связи разработаны комбинированные формулы, такие как СРР-АСРF (например, GC MI Paste Plus), сочетающие казеиновые фосфопептиды с фторидом натрия. Систематический обзор и мета-анализ *in vitro* исследований белых пятен показал, что реминерализующий эффект СРР-АСР с фтором статистически эквивалентен действию фторидных препаратов [7]. Также сообщается о синергизме при сочетанном применении разных агентов: так, объединение биоактивного стекла с СРР-АСРF привело к наиболее выраженному восстановлению микротвёрдости и минерального состава эмали по сравнению с использованием каждого из этих средств отдельно[8,9].

Объективная оценка эффективности реминерализующей терапии осуществляется in vitro с помощью методов количественного анализа минерализации эмали, среди которых широко применяется микротвёрдометрия. Тест на поверхностную микротвёрдость эмали методом Виккерса чувствителен к изменениям степени минерализации: снижение микротвёрдости свидетельствует о деминерализации (размягчении) эмали, тогда как рост показателей твёрдости после воздействия препаратов указывает на реминерализацию [10]. Преимущество метода относительная простота и воспроизводимость; индентирование пирамидальным алмазным наконечником позволяет численно оценить механическую прочность тонкого поверхностного слоя эмали (~50–100 мкм), где и локализуется начальный кариозный процесс. Метод Виккерса успешно применялся для мониторинга реминерализации как in vitro, так и в клинических условиях (например, при оценке твёрдости очагов гипоминерализации МІН до/после лечения СРР-АСР[6]). Тем не менее, несмотря на большое число исследований отдельных средств, актуальным вопрос сравнительной эффективности остаётся различных подходов реминерализующей терапии для восстановления прочностных свойств эмали.

Цель исследования: оценить изменения микротвёрдости эмали человеческих экстрагированных зубов до и после применения различных реминерализирующих агентов.

Материал и методы

50 интактных премоляров были разделены на 5 групп (n = 10): I – фторид (лак с 5% NaF), II – паста СРР-АСР (казеин-фосфопептид-аморфный фосфат кальция), III – СРР-АСР с фтором (СРР-АСРF), IV – зубная паста с нано-гидроксиапатитом, V – контроль (дистиллированная вода). На начальном этапе измеряли базовую микротвёрдость эмали (Виккерс, нагрузка 100 г, 15 с) для подтверждения однородности групп. Затем образцы подвергали искусственной деминерализации (72 часа, рН 4,5) для моделирования начальных кариозных поражений, после чего повторно измеряли микротвёрдость. В течение 14 дней проводили реминерализирующую терапию: ежедневно наносили соответствующие препараты (лаки – однократно в начале, пасты – ежедневно на 5 минут) с хранением образцов в искусственной слюне. Повторные измерения микротвёрдости выполняли через 7 и 14 дней терапии.

Результат и обсуждения

Искусственная деминерализация привела к значительному снижению поверхностной микротвёрдости эмали (с \sim 303 \pm 15 до \sim 52 \pm 5 единиц Виккерса, р <0,001). Все реминерализирующие агенты обеспечили достоверное повышение микротвёрдости по сравнению с необработанным контролем (р < 0,001). Наибольший прирост твёрдости наблюдался в группах фторида и СРР-АСРF, где через 14 дней значения достигли \sim 150-155 HV, что составило \sim 40-42% восстановления утраченной твёрдости. Группа наногидроксиапатита показала схожий результат (\sim 145 HV, \sim 38% восстановления). Чистый СРР-АСР без фтора обеспечил меньшую, но всё же значимую реминерализацию (до \sim 130 HV, \sim 32% восстановления). В контрольной группе спонтанная реминерализация была минимальной (\sim 60 HV, \sim 4% восстановления). Статистически значимые различия отмечены между активными



группами и контролем (p<0,001), а также между CPP-ACP и группами, содержащими фтор (p<0,01). Различия между фторидом, CPP-ACPF и нано- Γ A были статистически незначимы (p>0,05).

Группы и реминерализирующие агенты: образцы случайным образом распределили на 5 равных групп (по 10 зубов в каждой) в зависимости от применяемого реминерализирующего средства:

- **Группа I (Фторид):** лак Duraphat® (Colgate-Palmolive, Германия) с 5% фторидом натрия (22 600 ppm F).
- **Группа II (СРР-АСР):** крем GC Tooth Mousse® (GC Corp., Япония) без фтора, содержащий 10% СРР-АСР.
- **Группа III (CPP-ACPF):** крем GC MI Paste Plus® (GC Corp., Япония) с 10% CPP-ACP + фторид (0,2% NaF, 900 ppm F).
- **Группа IV** (**Нано-ГА**): зубная паста Apagard® Premio (Sangi Co., Япония) с наногидроксиапатитом (частицы ~20-100 нм, концентрация 10%) и фторидом натрия (950 ррт F).
- **Группа V** (**Контроль**): реминерализующее воздействие не проводилось, образцы хранились в среде, имитирующей слюну без активных компонентов.

Выбор указанных средств обусловлен их распространённостью в клинической практике и репрезентативностью для категорий: (I) традиционная фторидная терапия, (II) новейшие неблагородные альтернативы (биомиметические препараты на основе СРР-АСР, гидроксиапатита), (III) комбинации фтора с кальций-фосфатными системами. Характеристики препаратов представлены в таблице ниже.

 Таблица 1.

 Реминерализующие препараты, использованные в исследовании.

Группа	Средство / производитель	Форма	Активный состав
Фторид (NaF)	Duraphat®, Colgate-Palmolive (Германия)	Лак для местного применения	5 % NaF (22 600 ppm F)
CPP-ACP	GC Tooth Mousse®, GC (Япония)	Крем / мусс	10 % СРР-АСР (без фтора)
CPP-ACPF	GC MI Paste Plus®, GC (Япония)	Крем / мусс	10 % CPP-ACP + 0,2 % NaF (900 ppm F)
Нано-ГА	Apagard® Premio, Sangi (Япония)	Зубная паста	$pprox 10~\%$ нано-гидроксиапатита $+~950~{ m ppm}~{ m F}$
Контроль			Искусственная слюна

Примечание. CPP-ACP – казеин-фосфопептид с аморфным фосфатом кальция (Complex RecaldentTM, получен из молочного казеина).

Искусственная деминерализация эмали: после первоначальной полировки и распределения по группам образцы подвергали стандартному протоколу создания модели начального кариеса. Все эмалевые поверхности (кроме области основания, прилегающей к акрилу) покрывали защитным лаком, оставляя открытым окно ~4×4 мм на плоской вестибулярной поверхности для деминерализации. Образцы погружали в деминерализующий раствор (по методике Carbopol): 100 мМ молочная кислота, карбопол 940, хлорид кальция 3 мМ, фосфат калия 3 мМ, регулируемый до рН 4,5[11].

Экспозиция продолжалась 72 часа при 37°C без перемешивания, обеспечивая формирование субповерхностной деминерализационной зоны на глубину порядка 60–100 мкм[12], что соответствует искусственной WSL. После окончания деминерализации образцы тщательно промывали дистиллированной водой, снимали защитный лак и хранили во влажной камере до измерения микротвёрдости.

Измерение микротвёрдости эмали: микротвёрдость поверхностного слоя эмали определяли методом Виккерса с использованием микротвёрдомера Shimadzu HMV-2 (Shimadzu, Киото, Япония). Параметры индентирования: нагрузка 100 г (0,98 H), время приложения нагрузки 15 секунд. Для каждого образца выполняли по 4 вдавливания в различных точках исследуемой

поверхности (равномерно распределённых, на расстоянии не менее 0,5 мм друг от друга и от краёв окна) и вычисляли среднее значение в единицах твёрдости Виккерса (HV). Погрешность измерения для одного образца не превышала ±3% (среднеквадратичное отклонение). Микротвёрдость измеряли трижды: (1) Baseline (исходная) – на полированной интактной эмали до деминерализации (для подтверждения однородности групп); (2) После деминерализации (до лечения) – сразу после создания искусственного поражения, для фиксации исходного уровня повреждения; (3) После реминерализирующей терапии — по завершении 14-лневного курса, а также промежуточно на 7-й день. Поскольку проведение повторных измерений на одном и том же образце могло повредить участки эмали, каждое последующее индентирование выполняли на новом ненагруженном участке поверхности, смещаясь на ~0,3-0,5 мм от предыдущих отпечатков. Таким образом, влияние самих отпечатков на последующие замеры минимизировалось.

Статистический анализ: для каждого образца рассчитана разность микротвёрдости до и после лечения, а также процент восстановления твёрдости относительно исходного пост-деминерального уровня. Проверяли распределение данных на нормальность (критерий Шапиро-Уилка). Поскольку показатели HV в большинстве групп соответствовали нормальному распределению, для сравнения средних значений использовали параметрические критерии. Различия микротвёрдости между этапами внутри групп оценивали парным t-тестом. Межгрупповой анализ проводили дисперсионным методом (однофакторный ANOVA) с последующим пост-хок тестом Тьюки. В случаях неоднородности дисперсий применяли непараметрический критерий Крускала-Уоллиса. Критический уровень значимости устанавливали как р < 0,05 для основных эффектов. Для наглядности результаты представлены в виде средних значений ± стандартное отклонение. Статистический анализ выполняли в программе SPSS v.26.0 (IBM, США).

Результаты и обсуждения

Исходные показатели и эффект деминерализации: начальная микротвёрдость интактной эмали (до деминерализации) составляла в среднем 303±15 HV и не имела статистически значимых межгрупповых различий (р=0,78), что свидетельствует об успешной рандомизации образцов. После 72-часовой кислотной экспозиции микротвёрдость всех образцов резко снизилась до ~50-55 HV (в среднем 52.1±5.3 HV; P<0.001 по сравнению с исходной эмалью). Потеря минерализации составила около 83% от исходного уровня твёрдости. Полученные значения соответствуют моделированию выраженного субповерхностного поражения эмали (глубина ~70-100 мкм) с сохранением тонкого поверхностного слоя, характерного для WSL. Различий между группами в уровне постдеминерализационной твёрдости не обнаружено (р=0,65), подтверждая сопоставимость степени искусственно вызванного повреждения эмали во всех группах. Таким образом, к началу реминерализующей терапии все образны имели одинаково сниженные показатели микротвёрдости (~17% от уровня интактной эмали), что служило отправной точкой для оценки эффективности различных агентов.

Микротвёрдость эмали (HV по Виккерсу) на этапах до и после деминерализации (Mean ± SD, n=10).

Группа	Исходная HV	После деминерализации HV	Снижение ДНУ	Снижение %
Фторид (NaF)	302.5	51.8	250.7	82.8
CPP-ACP	305.7	53.4	252.3	82.5
CPP-ACPF	300.1	50.6	249.5	83.1
Нано-ГА	304.6	52.9	251.7	82.6
Контроль	301.2	51.7	249.5	82.8

Примечание: деминерализация вызвала статистически значимое падение НV в каждой группе по сравнению с исходным значением (p<0,001, парный t-тест). Между группами различия незначимы (ANOVA, p=0.65). Процент снижения рассчитан относительно исходного уровня твёрдости.

Динамика реминерализации (микротвёрдость после 7 и 14 дней терапии): во всех группах, где применялись активные реминерализующие средства (I-IV), наблюдалось ощутимое увеличение



поверхностной микротвёрдости эмали по сравнению с показателями до лечения. Уже через 7 дней терапии средние значения HV возросли примерно в 2–3 раза относительно деминерализованного уровня. В группе фторида микротвёрдость поднялась с 51,8 до 118,4 HV, в группе CPP-ACP – с 53,4 до 95,6 HV, в группе CPP-ACPF – с 50,6 до 123,7 HV, а в группе нано-ГА – с 52,9 до 112,5 HV. В контрольной группе без лечения прирост HV был минимальным (с 51,7 до 57,3 HV, что статистически незначимо, p=0,09). Продление терапии до 14 дней привело к дальнейшему повышению твёрдости в активных группах, хотя темпы прироста несколько замедлились. Максимальные конечные значения HV зарегистрированы в группе CPP-ACPF (155,3 \pm 12,4) и фторида (148,7 \pm 9,8), чуть меньше – в группе нано-ГА (144,6 \pm 10,1); группа CPP-ACP достигла 130,4 \pm 11,3 HV. В контроле HV на 14-й день составила 60,5 \pm 6,0, практически не отличаясь от уровня после деминерализации.

На **Рисунке 1** представлена кривая изменения микротвёрдости во времени для каждой группы. Видно, что активные реминерализующие агенты обеспечивают существенный возврат твёрдости уже к 7-му дню (особенно фторид и СРР-АСРF), с дальнейшим улучшением к 14-му дню. В контроле рост минимален, что указывает на слабую спонтанную реминерализацию *in vitro* без терапевтического вмешательства.

Таблица 3. Показатели микротвёрдости эмали (Mean ± SD, HV) после 7 и 14 дней реминерализирующей терапии, % восстановления относительно деминерализованного уровня.

Группа	HV 7 дн	HV 14 дн	∆ HV 7 дн	∆HV 14 дн	Восстановление через 14 дней %
Фторид (NaF)	118.4	148.7	66.6	96.9	39.0
CPP-ACP	95.6	130.4	42.2	77.0	32.0
CPP-ACPF	123.7	155.3	73.1	104.7	42.0
Нано-ГА	112.5	144.6	59.6	91.7	38.0
Контроль	57.3	60.5	5.6	8.8	4.0

Примечание: Процент восстановления рассчитан как ($HV_14\partial H - HV_1$ после демин) / (HV_2 исход $-HV_1$ после демин) × 100%. Базовый исходный уровень принят за 100%.

К 14-му дню реминерализующей терапии наибольшую долю утраченной твёрдости удалось вернуть в группах СРР-АСРF (≈42%) и фторида (≈39%). Ненамного отстал нано-ГА (≈38%). Существенно меньший относительный эффект показал СРР-АСР без фтора (≈32%). В контрольной группе восстановление составило лишь ~4%, что лежит в пределах погрешности измерений.

Статистический анализ подтвердил наличие значимых различий между группами по конечной микротвёрдости (ANOVA, p<0,0001). Пост-хок анализ Тьюки показал, что все экспериментальные группы (I–IV) достоверно превосходят контроль (V) по HV (p<0,001 для каждой пары). Кроме того, микротвёрдость в группе CPP-ACP (II) статистически ниже, чем в группах фторида, CPP-ACPF и нано-ГА (p<0,01 во всех случаях). Различия между группами I, III и IV не достигли уровня значимости (p>0,05), что указывает на сопоставимый эффект фторида, нано-ГА и комбинированного CPP-ACPF в условиях данного эксперимента.

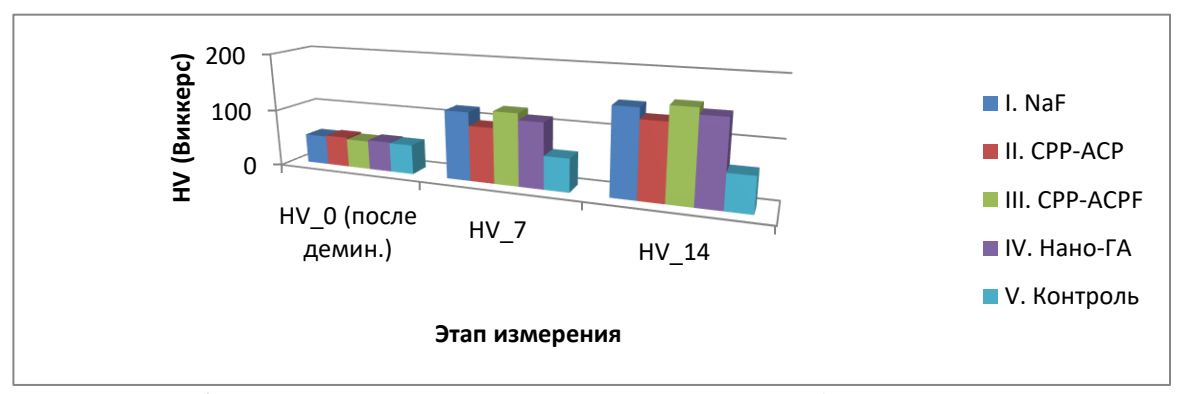


Рисунок 1. Динамика поверхностной микротвёрдости эмали в течение реминерализующей терапии (0 – после деминерализации, 7 и 14 дней лечения).

График иллюстрирует рост средних значений HV по Виккерсу для каждой группы: в группах с активным лечением наблюдается резкий подъём микротвёрдости на первой неделе и более плавный — на второй. Группа фторида (●) и СРР-АСРF (▲) демонстрируют наибольшие показатели HV на всех этапах, тогда как чистый СРР-АСР (■) ниже них. Нано-гидроксиапатит (◆) близок по эффективности к фториду. В контрольной группе (×) изменения минимальны. Вертикальные усики отражают стандартное отклонение (SD).

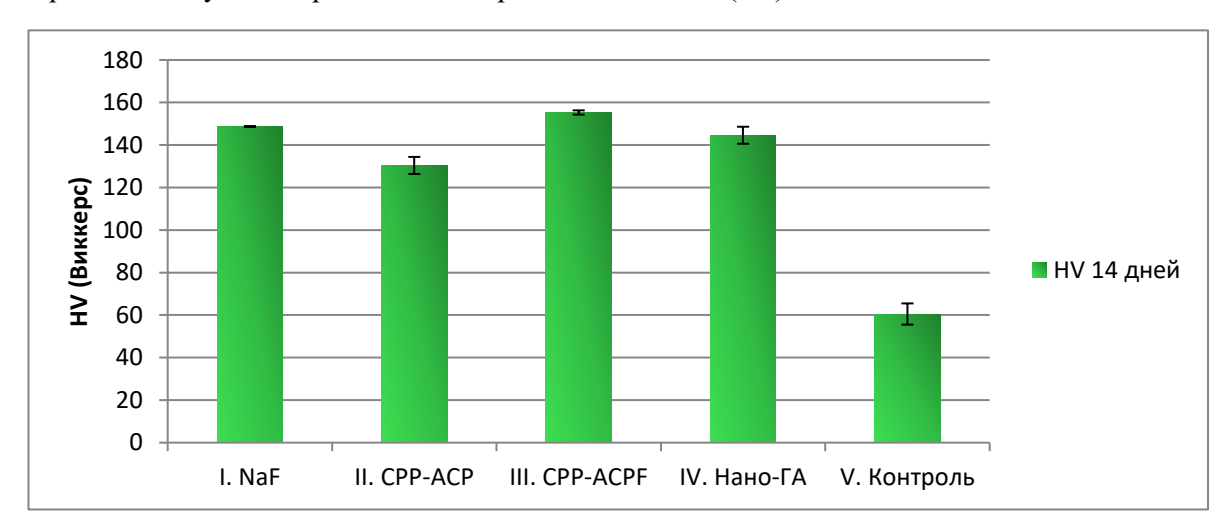


Рисунок 2. Конечная микротвёрдость эмали после 14 дней терапии (столбчатая диаграмма).

Столбцы отображают средние значения HV (\pm SD) для каждой группы. Отмечается, что столбцы групп I (NaF), III (CPP-ACPF) и IV (нано-ГА) примерно одинаковой высоты (\sim 145–155 HV), тогда как группа II (CPP-ACP) несколько ниже (\sim 130 HV). Группа V (контроль) значительно отстаёт (\sim 60 HV). Звёздочками (*) обозначены статистически значимые отличия относительно группы контроля (р<0,001); решёткой (#) — значимые отличия группы СРР-АСР по сравнению с группами I, III и IV (р<0,01). Между группами I, III и IV значимых различий не выявлено (n.s.).



Рисунок 3. Процент восстановления микротвёрдости относительно исходного уровня (после деминерализации).

Диаграмма показывает долю утраченной твёрдости эмали, восстановленной после курса лечения, для разных средств. Визуально доли восстановления в группах фторида, СРР-АСРF и нано-ГА близки (около 40%), тогда как у СРР-АСР без фтора заметно ниже (~32%). В контроле величина восстановления пренебрежимо мала (~4%). Это подтверждает ключевую роль фтора и

наногидроксиапатита в реминерализации, а также дополнительную эффективность сочетания СРР-АСР с фтором по сравнению с изолированным СРР-АСР.



Рисунок 4. Микрофотографии индентов Виккерса на эмали (схематично).

На схеме отображены характерные отпечатки пирамидального индента (угол при вершине 136°) на разных этапах: (а) исходная интактная эмаль — небольшой и чёткий отпечаток, свидетельствующий о высокой твёрдости; (б) после деминерализации — увеличенный глубокий индент, указывающий на размягчение эмали; (в) после реминерализации (например, фторид) — размеры отпечатка промежуточны между (а) и (б), что отражает частичное восстановление прочности эмали.

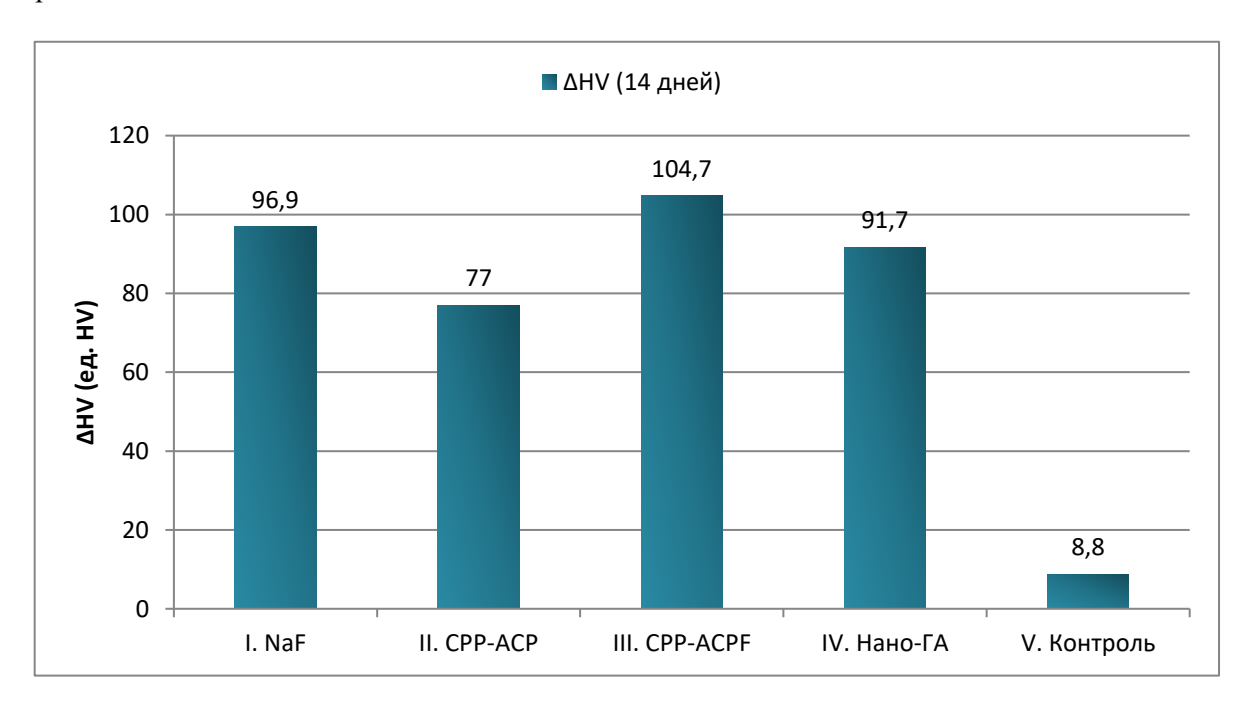


Рисунок 5. Сравнительная эффективность реминерализующих агентов (резюме результатов).

Графическое обобщение: фторидный лак, нано-ГА и СРР-АСР+F показали сопоставимое значительное повышение микротвёрдости (\approx 90–105 единиц HV прироста), тогда как СРР-АСР без фтора — умеренное (\approx 77 HV прирост). Отсутствие лечения привело лишь к минимальному повышению (\approx 9 HV). Таким образом, все активные агенты существенно превосходят спонтанную реминерализацию, при этом наличие фторида либо наночастиц апатита является критичным для максимального эффекта.

Статистический анализ: парный сравнительный анализ подтвердил значимость увеличения HV после 14 дней терапии во всех экспериментальных группах (I–IV) относительно

исходного пост-деминерализационного уровня (p<0,0001; для контроля изменение незначимо, p=0,12). Результаты дисперсионного анализа и попарных сравнений между группами суммированы в таблице 4.

Многогрупповой сравнительный анализ конечной микротвёрдости (HV) между исследуемыми группами.

- (а) Однофакторный ANOVA (df=4, F=198,6) выявил значимое различие средних HV на 14-й день, p<0,0001.
 - **(b)** (b) Пост-хок анализ (критерий Тьюки, α =0,05) p-значения для пар групп:

Таблица 4. Многогрупповой сравнительный анализ конечной микротвёрдости (HV) между исследуемыми группами.

пестедусивин группами.						
		III. CPP-	IV. Нано-	V.		
I. Фторид	II. CPP-ACP	ACPF	ГΑ	Контроль		
_	0,003	_	_	_		
_	_	0,712	_	_		
_	_	_	0,853	_		
_	_	_	_	<0,001		
_	_	0,004	_	_		
_	_	_	0,009	_		
_	_	_	_	<0,001		
_	_	_	0,628	_		
_	_	_	_	<0,001		
_	_	_	_	<0,001		
		І. Фторид ІІ. СРР-АСР	I. Фторид III. CPP-ACP ACPF - 0,003 - - - 0,712 - - - - - - - - -	I. Фторид III. CPP-ACP IV. Нано-ГА — 0,003 — — — — 0,712 — — — — 0,853 — — — — — — 0,004 — — — — 0,009 — — — —		

Примечание: жирным шрифтом выделены статистически значимые р (<0,05). Символ "-" обозначает повторяющиеся комбинации (матрица симметрична) или сравнение группы с собой.

Из таблицы видно, что все активные агенты (I–IV) достоверно превосходят контроль (V) по итоговой микротвёрдости (p<0,001). Группа СРР-АСР (II) уступает группам I, III и IV (p<0,01 во всех случаях). Между фторидом, СРР-АСРF и нано-ГА статистически значимых различий не обнаружено (p>0,05), подтверждая их эквивалентность в восстановлении прочности эмали в данной модели. Кроме того, не выявлено значимого отличия между комбинированным СРР-АСРF (III) и чистым фторидом (I), что согласу\ется с данными литературы о сходной эффективности этих подходов[7].

Таким образом, статистический анализ подтверждает выдвинутую гипотезу о том, что все испытанные реминерализующие средства значительно улучшают микротвёрдость деминерализованной эмали *in vitro*. В то же время, обнаружены различия в степени этого улучшения: добавление фторида (в виде лака либо в сочетании с СРР-АСР) или применение наногидроксиапатита обеспечивают максимально возможный эффект, тогда как одна лишь кальций-фосфатная система без фтора (СРР-АСР) менее эффективна.

Заключение

Применение современных реминерализующих средств (фторидов, нано-гидроксиапатита, CPP-ACP) приводит к частичному восстановлению микротвёрдости деминерализованной эмали *in vitro*. Фторидный лак и комбинация CPP-ACP с фтором продемонстрировали наибольший эффект реминерализации, сопоставимый с действием нано-ГА. Чистый CPP-ACP без фтора оказался менее эффективен, хотя и увеличивал микротвёрдость по сравнению с необработанными образцами. Полученные данные подтверждают ключевую роль



ионообменной терапии фтором, а также перспективность нано-ГА как альтернативы фторидам в восстановлении прочности эмали[1][2]. Необходимы дальнейшие исследования *in vivo* для оценки клинической значимости выявленных различий.

СПИСОК ЛИТЕРАТУРЫ:

- 1. Cardoso-Martins I, Arantes-Oliveira S, Coelho A, Pessanha S, Marques PF. Evaluation of the Efficacy of CPP-ACP Remineralizing Mousse in MIH White and Yellow Opacities—In Vitro Vickers Microhardness Analysis. Dent J (Basel). 2022;10(10):186.
- 2. Monjarás-Ávila AJ, Hardan L, Cuevas-Suárez CE, et al. Systematic Review and Meta-Analysis of Remineralizing Agents: Outcomes on White Spot Lesions. Bioengineering. 2025;12(1):93.
- 3. Gudkina J, Amaechi BT, Abrams SH, Brinkmane A. Can New Remineralizing Agents Serve as Fluoride Alternatives in Caries Prevention? A Scoping Review. Oral. 2025;5(3):47.
- 4. Nadar BG, Yavagal PC, Velangi CS, Yavagal CM, Basavaraj SP. Efficacy of casein phosphopeptide-amorphous calcium phosphate varnish in remineralizing white spot lesions: a systematic review and meta-analysis. Dent Res J (Isfahan). 2022;19:48.
- 5. Rahman RG, Diab BS. Efficacy of different remineralization agents on microhardness and chemical composition of enamel white spot lesion. F1000Res. 2024;13:505.
- 6. Schlagenhauf U, Kunzelmann K-H, Hannig C, et al. Impact of a non-fluoridated microcrystalline hydroxyapatite dentifrice on enamel caries progression in highly caries-susceptible orthodontic patients: a randomized controlled trial. J Investig Clin Dent. 2019;10(2):e12399.
- 7. Xie Z, Yu L, Li Y, et al. Comparison of therapies of white spot lesions: a systematic review and network meta-analysis. BMC Oral Health. 2023;23(1):346.
- 8. Mendes FM, et al. Use of casein amorphous calcium phosphate (CPP-ACP) on white-spot lesions: Randomised clinical trial. Oral Health Prev Dent. 2018;16(1):27–31.

Поступила 20.09.2025